

# Diagramas de difusión

Seminario Variedades de  
Conglomerado

[§1, GHKU] 1 marzo 2022

## La hipótesis de la inyectividad:

$p_i^*: N_{mt} \rightarrow M^0, n \mapsto \{n_i, -\}$  es inyectiva  
↳ dado una semilla la matriz  $\tilde{B}_s$  determina  $p_i^*$   
(por ejemplo, se satisface  
con coef. principales)

## Recordar:

Γ datos fijos,  $s = (e_i : i \in I)$   
 $\{, \} : N \times N \rightarrow \mathbb{Q}$   
 $N = \langle e_i : i \in I \rangle, N_{mt} = \langle e_i : i \in I_{mt} \rangle$   
 $N^0 = \langle d_i e_i : i \in I \rangle$   
 $M^0 = \langle f_i : i \in I \rangle \quad f_i = d_i^{-1} e_i^*$   
 $M = \langle d_i f_i : i \in I \rangle$   
 $v_i = \{e_i, -\} = \sum_{j \in I} \varepsilon_{ij} d_j f_j \in M^0$

# Monoides y álgebras de Lie

\*  $N^+ = N_S^+ := \left\{ \sum_{i \in \text{Im} \sigma} a_i e_i : a_i \geq 0, \sum a_i > 0 \right\}$

\*  $d: N \rightarrow \mathbb{Z}$  tal que  $d(n) > 0 \forall n \in N^+$

\*  $\sigma \in M_{\mathbb{R}} := M \otimes_{\mathbb{Z}} \mathbb{R}$  y  $P := S_{\sigma} = \sigma \cap M^0$  tal que  $p_i^*(e_i) \in P^{\times} = \cdot$

$\hookrightarrow \mathfrak{J} \subseteq k[P]$  define un ideal monomial

\*  $\widehat{k[P]} := \varprojlim k[P]/\mathfrak{J}^p$ , para  $u_1, \dots, u_s$  generadores primitivos de los rayos de  $\sigma$   $\widehat{k[P]} = k[[X^{u_1}, \dots, X^{u_s}]]$

Definición:  $\Theta k[P] := k[P] \otimes_{\mathbb{Z}} N^0$  es el módulo de log-derivadas y un álgebra de Lie:

$$f \partial_n(z^m) = (f \otimes n)(z^m) := f \langle n, m \rangle z^m, \quad f \in k[P], n \in N^0, m \in P$$

$$[z^m \partial_n, z^{m'} \partial_{n'}] = z^{m+m'} \partial_{\langle n, m' \rangle n' - \langle n', m \rangle n}$$

Nota:  
 $\zeta \in \Theta k[P] \Rightarrow \exp(\zeta) \in \text{Aut}_k(\widehat{k[P]})$   
 (Taylor series)

Lie subálgebras:  $\mathfrak{g} := \bigoplus_{n \in N^+} \mathfrak{g}_n$  donde  $\mathfrak{g}_n = \langle z^{p_i^*(n)} \partial_n \rangle \subset \Theta k[P]$  1-dim,  
 $\mathfrak{g}^{>k} := \bigoplus_{d(n) > k} \mathfrak{g}_n$  y  $\mathfrak{g}^{\leq k} := \mathfrak{g} / \mathfrak{g}^{>k}$  nilpotent

Grupos de Lie:  $G^{\leq k} := \exp(\mathfrak{g}^{\leq k})$  nilpotent,  $G := \exp(\mathfrak{g}) = \varprojlim G^{\leq k}$  pro-nilpotent

Para  $n_0 \in N^+$  definimos  $\mathfrak{g}_{n_0}'' = \bigoplus_{k > 0} \mathfrak{g}_{k \cdot n_0} \subset \mathfrak{g}$  Lie subálgebra  
 $G_{n_0}'' = \exp(\mathfrak{g}_{n_0}'') \subset G$  Lie subgrupo

Lema 1.3: Para  $n_0 \in N^+$  el grupo  $G_{n_0}'' \subset \text{Aut}_k(\widehat{k[P]})$  es el subgrupo de automorfismos determinados por elementos  $f = 1 + \sum_{k=1}^{\infty} a_k z^{k n_0} \in \widehat{k[P]}$ ,  $n_0 = p_i^*(n_0)$   $n_0$  generador primitivo de  $(\mathbb{R}_{>0} n_0) \cap N^0$  Pf  
 $P_f(z^m) = f \langle n_0, m \rangle z^m$

# Paredes y diagramas de difusión

Definición 1.4 Una pared en MR es una pareja  $(\partial, g_\partial)$

(1)  $g_\partial \in G_n''$  para algún  $n \in \mathbb{N}^+$  → la función de la pared

(2)  $\partial \subset \mathbb{R}^n \subset MR$  es un cono poliedral convexo de dim.  $\hookrightarrow$  no nec. estrictamente

$\left. \begin{array}{l} \text{rank}(N) - 1 \\ \rightarrow \end{array} \right\}$  el soporte de la pared

Definición 1.6 Un diagrama de difusión  $\mathcal{D}$  para  $\mathbb{N}^+$  y  $g$  es una colección de paredes t.q. para cada  $k > 0$   $\exists$  un número finito  $(\partial, g_\partial) \in \mathcal{D}$  con el imagen de  $g_\partial$  en  $G_n^{\leq k} \neq$  identidad

El soporte de  $\mathcal{D}$  es  $\text{Supp}(\mathcal{D}) := \bigcup_{\partial \in \mathcal{D}} \partial$

y el lazo singular es  $\text{Sing}(\mathcal{D}) = \bigcup \text{frontera}(\partial) \cup \bigcup (\partial_1 \cap \partial_2)$   
 $\dim(\partial_1 \cap \partial_2) = n - 2$

Una conjunta es una célula de dim  $n - 2$  t.q.  $\text{Sing}(\mathcal{D}) = \bigcup$  conjuntas



# Producto ordenado de caminos y coherencia

Sea  $\gamma: [0,1] \rightarrow M_{\mathbb{R}} \setminus \text{Sing}(\mathcal{D})$  una inmersión suave,  $\gamma(0), \gamma(1) \notin \text{Supp}(\mathcal{D})$

$\forall k > 0 \exists 0 < t_1 < \dots < t_k < 1$  y  $\partial_i \in \mathcal{D}$  tal que  $g_{\partial_i} \in G^{\leq k} \setminus \{\text{id}\}$ ,  $\gamma(t_i) \in \partial_i$   
 definimos  $P_{\gamma, \mathcal{D}}^k := g_{\partial_{t_k}} \dots g_{\partial_{t_1}}$   $\epsilon_i = -\text{sgn}(\langle n_{\partial_i}, \gamma'(t_i) \rangle)$   
 $n_{\partial} \in \mathbb{N}^+$  t.q.  $\partial \subset n_{\partial}^+$

y  $P_{\gamma, \mathcal{D}} := \lim_{k \rightarrow \infty} P_{\gamma, \mathcal{D}}^k \in G$

Definición 1.8  $\mathcal{D}, \mathcal{D}'$  diagramas de difusión son equivalentes si  $P_{\gamma, \mathcal{D}} = P_{\gamma, \mathcal{D}'}$   $\forall \gamma$

$x \in M_{\mathbb{R}}$  es general si existe a lo mejor un  $n_0 \in \mathbb{N}^+$ :  $x \in n_0^+$

definimos  $g_x(\mathcal{D}) := \prod_{\partial \in x} g_{\partial} \in G_{n_0}^{\parallel}$

Lema 1.9  $\mathcal{D} \sim \mathcal{D}' \iff g_x(\mathcal{D}) = g_x(\mathcal{D}') \quad \forall x \in M_{\mathbb{R}} \text{ general}$

Definición 1.10  $\mathcal{D}$  es coherente si  $P_{\gamma, \mathcal{D}}$  solo depende de  $\gamma(0)$  y  $\gamma(1)$

Definición 1.11 una pared  $\partial \in n_0^+$  es entrando si  $p_i^*(n_0) \in \partial$   
 de lo contrario es saliendo

↓  
la dirección de  $\partial$

# Unicidad de diagramas de difusión coherentes

Para  $\Gamma$  datos fijos y  $s$  una semilla definimos

$$\mathcal{D}_{in,s} := \left\{ (c_i^+, 1+z^{v_i}) : i \in \Gamma_{mut} \right\}$$

$$\begin{aligned} v_i &= \{e_i, -\} \in M^0 \\ &= \sum_{j \in \Gamma} \epsilon_{ij} d_j f_j \end{aligned}$$

## Teorema 1.12

Existe un diagrama de difusión  $\mathcal{D}_s$  tal que

(1)  $\mathcal{D}_s$  es coherente

(2)  $\mathcal{D}_s \supset \mathcal{D}_{in,s}$

(3)  $\mathcal{D}_s \setminus \mathcal{D}_{in,s}$  solo consiste de paredes saliendo

Además, todos los  $\mathcal{D}_s$  que cumplen (1)-(3) son equivalentes

Teorema 1.13  $\mathcal{D}_s$  es equivalente a un diagrama de difusión con la propiedad que todas las paredes  $(d, f_d)$  satisfacen

$$f_d = (1+z^m)^c, \quad m = p^*(n) \quad n \in \mathbb{N}^+ \quad c > 0$$

↳ todos los coeficientes de  $f_d$  son positivos.

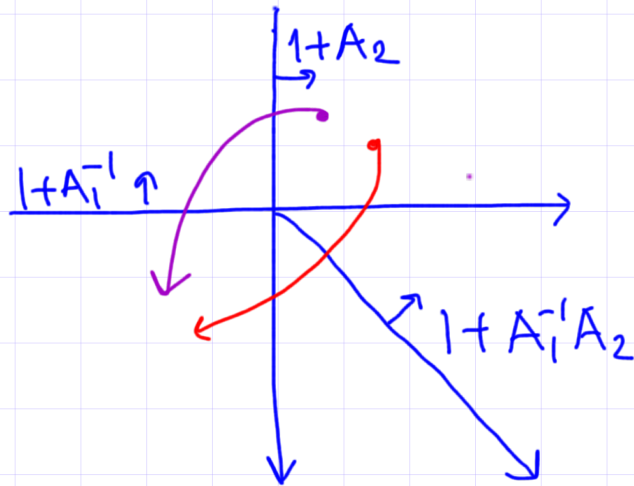
# Ejemplo

$N = \mathbb{Z}^2 = N^0 = N_{\text{mut}}$ ,  $d_1 = d_2 = 1$  y  $\{.,.\}: N \times N \rightarrow \mathbb{Q}$   
 definida por  $\begin{pmatrix} 0 & 1 \\ -1 & 0 \end{pmatrix}$

$\{e_1, e_2\}$  base de  $N$  y  $\{f_1, f_2\}$  base dual

$\Rightarrow \mathcal{D}_{\text{in},s} = \{ (e_1^\perp, 1+A_2), (e_2^\perp, 1+A_1^{-1}) \}$   $A_i = z^{f_i}$

$p_i^*(e_1) = \begin{pmatrix} 0 \\ 1 \end{pmatrix} \in e_1^\perp$   
 $\rightarrow$  dirección  $-\begin{pmatrix} 0 \\ 1 \end{pmatrix}$   
 $p_i^*(e_2) = \begin{pmatrix} -1 \\ 0 \end{pmatrix} \in e_2^\perp$   
 $\rightarrow$  dirección  $\begin{pmatrix} 1 \\ 0 \end{pmatrix}$



$N^+ = \mathbb{R}_{\geq 0} \{e_1, e_2\}$   
 $\widehat{k[P]} = k[A_1^{-1}, A_2]$

$\langle n_1, n_0 \rangle \cdot (-\langle \gamma'(t), n_0 \rangle)$

$A_1 \mapsto A_1(1+A_2) = A_1 + A_1A_2$   
 $\mapsto A_1 + A_1A_2(1+A_1^{-1})$   
 $= \boxed{A_1 + A_1A_2 + A_2}$

$A_1 \mapsto A_1 \mapsto A_1(1+A_1^{-1}A_2)$   
 $= A_1 + A_2$   
 $\mapsto \boxed{A_1(1+A_2) + A_2}$  ✓

$A_2 \mapsto A_2 \mapsto A_2(1+A_1^{-1}) = \boxed{A_2 + A_1^{-1}A_2}$

$A_2 \mapsto A_2(1+A_1^{-1}) = A_2 + A_1^{-1}A_2 \rightarrow \langle (-1), (1) \rangle = 0$

$\mapsto A_2(1+A_1^{-1}A_2) + A_1^{-1}A_2 = A_2 + A_1^{-1}A_2^2 + A_1^{-1}A_2$

$\mapsto A_2 + A_1^{-1}A_2^2(1+A_2)^{-1} + A_1^{-1}A_2(1+A_2)^{-1} = \boxed{A_2 + A_1^{-1}A_2}$  ✓

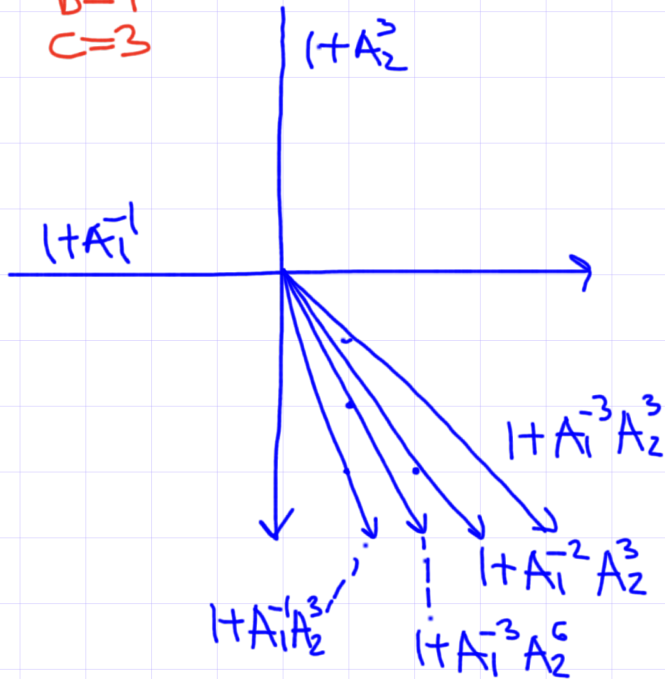
# Ejemplo

$$N = \mathbb{Z}^2 = N_{wt}, N^0 = \{be_1, ce_2\}, d_1 = b, d_2 = c, s = (e_1, e_2)$$

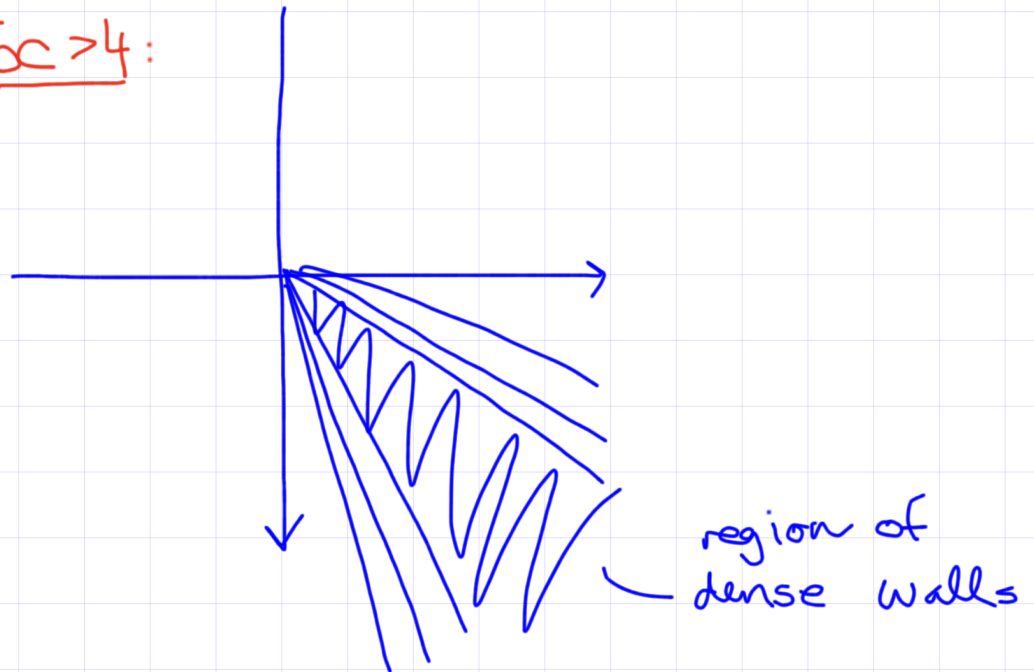
$$\mathcal{D}_{in, s} = \{(e_1^\perp, 1+A_2^c), (e_2^\perp, 1+A_1^{-b})\}$$

$G_2$ :

$$b=1 \\ c=3$$



$bc > 4$ :



$\mathcal{D}_s \setminus \mathcal{D}_{in, s}$  es invariante bajo  $\begin{pmatrix} -1 & -b \\ 0 & 1 \end{pmatrix} = S_1$ , y  $\begin{pmatrix} 1 & 0 \\ -c & -1 \end{pmatrix} = S_2$   
 es decir  $(a, fa) \in \mathcal{D}_s \Rightarrow (S_1(a), f_a(z^{S_1(m)})) \subset \mathcal{D}_s$

También  $S_2(e_1^\perp, 1+A_1^{-b})$  y  $S_1(e_2^\perp, 1+A_2^c)$  son paredes de  $\mathcal{D}_s$

$bc < 4 \rightarrow \mathcal{D}_s$  es finito

$bc \geq 4 \rightarrow \mathcal{D}_s$  es infinito y los rayos convergen a  $-(bc \pm \sqrt{bc(bc-4)})/2b$



# Construcción del diagrama de difusión coherente

$$\mathcal{E}^+ := \{m \in M_{\mathbb{R}} : m|_{\mathbb{N}^+} \geq 0\} \text{ y } \mathcal{E}^- := \{m \in M_{\mathbb{R}} : m|_{\mathbb{N}^+} \leq 0\}$$

recuerda: paredes generan hiperplanos en  $\mathbb{N}_0^+$ ,  $n_0 \in \mathbb{N}^+ \Rightarrow \text{Supp}(\mathcal{D}) \cap (\mathcal{E}^+)^{\circ} = \emptyset$

$\mathcal{D}$  coherente  $\Rightarrow p_{\gamma, \mathcal{D}}$  para  $\gamma$  camino de  $\mathcal{E}^+$  a  $\mathcal{E}^-$  no depende de  $\gamma \rightarrow$  ni de  $\gamma(0), \gamma(1)$   
(se muestra con una descomposición de  $\alpha \gamma$  y mod  $\alpha \gamma^{>k}$ )

$\Rightarrow$  así se obtiene un elemento bien definido  $p_{+,-} \in G$  (solo depende de  $\mathcal{D}$ )

Teorema 1.17  
(Kontsevich-Schubert)  $\left\{ \begin{array}{l} \text{clases de equiv.} \\ \text{de diag. de difusión} \\ \text{coherentes} \end{array} \right\} \xleftrightarrow{1:1} \left\{ \begin{array}{l} \text{asignaturas} \\ p_{+,-} \text{ a } \mathcal{D} \end{array} \right\}$

Proposición 1.20  $\exists$  una biyección de conjuntos

$$G \xrightarrow{\Psi} \prod_{n_0 \in \mathbb{N}^+ \text{ primitivo}} G_{n_0}''$$

Teorema 1.21 Sea  $\mathcal{D}$  un diagrama de difusión coherente para  $p_{+,-} \in G$

(2)  $\mathcal{D} \sim \mathcal{D}'$  con una sola pared en  $\mathbb{N}_0^+ \supset p^*(n_0) \forall n_0 \in \mathbb{N}^+$  cuya función es  $\Psi(p_{+,-})_{n_0}$

(3) Sea  $\mathcal{D}_{in} := \{(n_0^+, \Psi(p_{+,-})_{n_0}) : n_0 \in \mathbb{N}^+ \text{ primitivo}\}$

$\Rightarrow \mathcal{D} \sim \mathcal{D}'$  coherente t.g.  $\mathcal{D}' \supset \mathcal{D}_{in}$  y  $\mathcal{D}' \setminus \mathcal{D}_{in}$  solo contiene paredes salientes. Además,  $\mathcal{D}'$  es único con esta propiedad

(4) Clases de equivalencia de diagramas de difusión coherentes son determinadas de las paredes entrante.

## Del caso general al caso de conglomerado

Teorema 1.21 (3)  $\Rightarrow$  Teorema 1.12 Sea  $g_i = 1 + z^{v_i} \in G$  para  $i \in I_{\text{int}}$

$$\Rightarrow \mathcal{D}_{\text{int}} = \{(e_i^{\pm}, g_i) : i \in I_{\text{int}}\}$$

Prop. 1.20  $\Rightarrow \exists! g \in G$  tal que  $\psi(g)_n = \begin{cases} g_i & n = e_i, i \in I_{\text{int}} \\ 1 & \text{de lo contrario} \end{cases}$

Sea  $p_{+,-} = g$  y aplica Teorema 1.21 (3), entonces  $\mathcal{D}_{\text{in}} = \mathcal{D}$ .

## Construcción algorítmica de diagramas de difusión

Definición:  $\star \mathcal{D}_k \subset \mathcal{D}$  el conjunto finito de paredes  $(\partial, f_{\partial})$  t.p.  $f_{\partial}$  en  $G^{\leq k}$  no es trivial  $\rightarrow$  diagrama de difusión para  $N^+$  y  $g^{\leq k}$

$\star \mathcal{D} \sim_k \mathcal{D}'$  son equivalentes hasta el orden  $k$  si  $\mathcal{D}_k \subset \mathcal{D}$  y  $\mathcal{D}_k \subset \mathcal{D}'$  son equivalentes para  $g^{\leq k}$

Objetivo: Construir el diagrama  $\mathcal{D}$  del Teorema 1.21

IDEA: Construir una secuencia  $\tilde{\mathcal{D}}_1 \subset \tilde{\mathcal{D}}_2 \subset \dots$  de diagramas finitos tal que  $\tilde{\mathcal{D}}_k \sim_k \mathcal{D}_k \subset \mathcal{D}$  y  $\tilde{\mathcal{D}} := \bigcup_{k=1}^{\infty} \tilde{\mathcal{D}}_k$  es equiv. a  $\mathcal{D}$ .

Fijamos  $\tilde{\mathcal{D}}_1 = (\mathcal{D}_{\text{in}})_1$  y  $\tilde{\mathcal{D}}_{k+1} = \tilde{\mathcal{D}}_k \cup ((\mathcal{D}_{\text{in}})_{k+1} \setminus (\mathcal{D}_{\text{in}})_k) \cup \bigcup_{j \text{ junta } \perp} \mathcal{D}[j]$

# La mutación de diagramas de difusión

$\Gamma$  datos fijos,  $s$  semilla,  $k \in \text{Int}$ ,  $s' = \mu_k(s)$ ,  $\mathfrak{g}_s$  y  $\mathfrak{g}_{s'}$  las álgebras de Lie

Definición 1.22:  $H_k^+ = \{m \in M_{\mathbb{R}} : \langle e_{x,m} \rangle \geq 0\}$  y  $H_k^- = \{m \in M_{\mathbb{R}} : \langle e_{x,m} \rangle \leq 0\}$

definimos  $T_k: M^0 \rightarrow M^0$   
 $T_k(m) = \begin{cases} m & v_k \langle d_{x,m} \rangle > 0 \\ m & m \in H_k^+ \\ m & m \in H_k^- \end{cases}$

$$N_{k,\mathbb{A}}^*(z^m) = z^m (1 + z^{v_k})^{-\langle d_{x,m} \rangle}$$

$$N_{k,\mathbb{A}}: T_{\mathbb{N}^0} \dashrightarrow T_{\mathbb{N}^0}$$

← tropicaliza

Sean  $T_k^\pm$  los mapeos lineales

Definimos  $T_k(\mathcal{D}_s) \ni \partial_k' = (e_{x'}, 1 + z^{-v_k})$  y  $\forall (d, f_d) \in \mathcal{D}_s$   
 $\dim \partial_k H_k^\pm \neq \text{rank } N - 1$  ( $T_k^\pm(\partial_k H_k^\pm), T_k^\pm(f_d) \in T_k(\mathcal{D}_s)$ )

$$e_i' = \begin{cases} e_i + [E_{ik}] + e_k & i \neq k \\ -e_k & i = k \end{cases} \quad f_i' = \begin{cases} f_i & i \neq k \\ -f_k + \sum [-E_{kj}] + f_j, & i = k \end{cases} \Rightarrow (e_k')^\pm = z_k^\pm \text{ y } v_k' = -v_k \text{ pues}$$

$$v_k' = \{e_{k,i}^-\} = \sum_{i \in I} E_{ki} d_i f_i' = - \sum_{i \in I} E_{ki} d_i f_i$$

Teorema 1.24 Sup. que  $p_i^*$  sea inyectiva  $\Rightarrow T_k(\mathcal{D}_s)$  es un diagrama de difusión coherente para  $\mathfrak{g}_{s'}$  y  $N_{s'}^+$ . Además,  $T_k(\mathcal{D}_s) \sim \mathcal{D}_{s'}$  → fácil  
 porque  $\mathcal{D}_s$  lo es tienen las mismas paredes entornadas (Teorema 1.12)

Problema: las funciones  $f_d$  viven en  $\widehat{k[P]}$  resp.  $\widehat{k[P']}$   $P \neq P'$   
 se necesita un monoide  $\overline{P}$  que contenga  $P$  y  $P'$



# La estructura de cámaras

Recordar:  $C_s^\pm = \{m \in M_{\mathbb{R}} : \langle e_i, m \rangle \leq 0 \text{ } i \in I_{\text{mut}}\}$

$\Rightarrow C_s^\pm$  son cerraduras de componentes conexas en  $M_{\mathbb{R}} \setminus \text{Supp}(\mathcal{D}_s)$   
 $\Rightarrow T_k^{-1}(C_{\mu_k(s)}^\pm) \text{ --- } \parallel \text{ --- } M_{\mathbb{R}} \setminus \text{Supp}(\mathcal{D}_{\mu_k(s)})$   
 $\Rightarrow T_k^{-1}(C_{\mu_k(s)}^\pm) \text{ --- } \parallel \text{ --- } M_{\mathbb{R}} \setminus \text{Supp}(\mathcal{D}_s)$

Entonces  $T_k^{-1}(C_{\mu_k(s)}^\pm)$  y  $C_s^\pm$  comparten una faceta en  $e_k^\perp = (e_k')^\perp$

Recordar:  $\tilde{\mathcal{T}}_s$  el árbol  $|I_{\text{mut}}|$ -valente orientado con fuente en  $0 \leftrightarrow s$   
 $\forall v \in \tilde{\mathcal{T}}_s$  vértice  $\exists!$  camino  $0 \xrightarrow{k_1} \dots \xrightarrow{k_r} v$  que define  
 $T_v := T_{k_r} \circ \dots \circ T_{k_1} : M^\circ \rightarrow M^\circ$  la tropicalización de  $\mu_{k_r} \circ \dots \circ \mu_{k_1}$

Teorema 1.24  $\Rightarrow T_v(\mathcal{D}_s) = \mathcal{D}_{s_v}$   $s_v$  semilla en  $v \in \tilde{\mathcal{T}}_s$

Definimos  $C_v^\pm := T_v^{-1}(C_{s_v}^\pm) \subset M_{\mathbb{R}} \setminus \text{Supp}(\mathcal{D}_s)$  cerradura de comp. con.

Ejercicio: Aún  $\mu_k(\mu_k(s)) \neq s$  tenemos una correspondencia 1:1 entre  $C_v^\pm$  y  $v$

Comentario: En general  $\bigcup_{v \in \tilde{\mathcal{T}}_s} C_v^\pm \subset M_{\mathbb{R}} \setminus \text{Supp}(\mathcal{D}_s)$  no es denso.

Definición 1.32:  $\Delta_s^\pm = \{ C_v^\pm \subset M_{\mathbb{R}} \setminus \text{Supp}(\mathcal{D}_s) : v \in \tilde{\mathcal{T}}_s \}$   
el conjunto de las cámaras de conglomerado